

Commande robuste de systèmes non-linéaires basée sur un modèle hybride-physique neuronal

1^{er} congrès annuel de la SAGIP

A. Hache, M. Thieffry, M. Yagoubi, P. Chevrel

IMT Atlantique, LS2N UMR CNRS N° 6004, Nantes, France

June 23, 2023



Sommaire

① Contexte

Modèle d'états neuronaux

Introduction d'une partie linéaire explicite

Quelle cible pour la commande robuste ?

② Projection sur un modèle linéarisable

Linéarisation exacte par retour d'état.

Méthodologie

Identification : Silverbox

③ Projection sur un modèle quasi-linéarisable

Procédure d'apprentissage

Exemples

Résultats d'identification

Influence des hyperparamètres

④ Résumé et perspectives

Sommaire

① Contexte

Modèle d'états neuronaux

Introduction d'une partie linéaire explicite

Quelle cible pour la commande robuste ?

② Projection sur un modèle linéarisable

③ Projection sur un modèle quasi-linéarisable

④ Résumé et perspectives

Contexte

Essor de l'intelligence artificielle/réseaux de neurones :

- ▶ Une augmentation du nombre de données
- ▶ Des algorithmes performants [Kingma and Ba, 2017]
- ▶ Des bons résultats pour l'identification de systèmes dynamiques [Schoukens, 2021, Rivals, 1995, Raissi et al., 2019, Revay et al., 2020]
- ▶ **Problématique** : Comment à l'aide de l'apprentissage par réseaux de neurones projeter les données sur une classe de modèles qui facilite ensuite la synthèse d'une commande robuste ?
 - ▶ apprentissage donc méthodologie de génération de données
 - ▶ modèle donc différent d'une approche purement "Data-driven" [Kergus, 2021, van Waarde et al., 2020, Martin and Allgöwer, 2021]

Deux axes :

- ▶ Paramétrisation
- ▶ Intégration de contraintes "système" à prendre en compte dans l'optimisation

Sommaire

① Contexte

Modèle d'états neuronaux

Introduction d'une partie linéaire explicite

Quelle cible pour la commande robuste ?

② Projection sur un modèle linéarisable

③ Projection sur un modèle quasi-linéarisable

④ Résumé et perspectives

Modèle d'états neuronaux

Paramétrisation d'un modèle d'état par réseaux de neurones :

- ▶ Neural State-space models [SUYKENS et al., 1995] :

$$\begin{cases} x_{k+1} &= f_{\theta}(x_k, u_k) \\ y_k &= g_{\theta}(x_k, u_k) \end{cases} \quad (1)$$

Quelle forme pour f_{θ}, g_{θ} ?

- ▶ **Quelle classe choisir ?**
- ▶ **A partir de la classe choisie comment orienter l'apprentissage pour la commande ?**

Introduction d'une partie linéaire explicite

- ▶ Introduire une partie linéaire donne un bon point d'initialisation. [Sjoberg, 1997][Schoukens, 2021] :

$$\begin{cases} \dot{x} &= Ax + Bu + W_x \sigma(W_{f_x} x + W_{f_u} u + b_f) + b_x \\ y &= Cx + Du + W_y \sigma(W_{g_x} x + W_{g_u} u + b_g) + b_y \end{cases} \quad (2)$$

- ▶ On peut l'initialiser grâce aux techniques linéaires telles que *best linear approximation*, [Pintelon et al., 2020] ou la méthode des sous-espaces [Van Overschee and De Moor, 1994].
- ▶ Cela permet d'inclure des dynamiques linéaires et de faciliter l'optimisation.

Quelle cible pour la commande robuste ?

- ▶ Robustesse des systèmes linéaires : champ mature.

$$\begin{aligned}x_{k+1} &= Ax_k + Bu_k + Gw_k \\y_k &= C_1x_k + D_{11}u_k + D_{12}w_k \\z_k &= C_2x_k + D_{21}u_k + D_{22}w_k\end{aligned}\tag{3}$$

- ▶ Indicateur de performance et de robustesse

⇒ Volonté de projeter sur une classe linéarisable

Sommaire

- 1 Contexte
- 2 Projection sur un modèle linéarisable
 - Linéarisation exacte par retour d'état.
 - Méthodologie
 - Identification : Silverbox
- 3 Projection sur un modèle quasi-linéarisable
- 4 Résumé et perspectives

Linéarisation exacte par retour d'état.

On considère un système affine en la commande :

$$\begin{cases} \dot{x} &= Ax + Bu + f_{NN}(x) &= f(x) + g(x)u \\ y &= Cx + g_{NN}(x) &= h(x) \end{cases} \quad (4)$$

Un problème bien étudié pour cette classe de modèles est de trouver une loi de commande :

$$u_{lin} = \alpha(x) + \beta(x)v$$

et un difféomorphisme $z = \Phi(x)$ telle que (4) soit équivalent en boucle fermée à un système linéaire :

$$\begin{cases} \dot{z} &= A_z z + B_z v \\ y &= C_z z \end{cases} \quad (5)$$

Méthodologie

De cette idée, on propose la procédure d'apprentissage suivante :

Soit un jeu de données (u_D, y_D, x_D)

1. On détermine $(A_{BLA}, B_{BLA}, C_{BLA})$ à partir de (u_D, y_D)
2. On choisit A_{CL} pour placer les pôles de la boucle fermée à partir de (A_{BLA}, B_{BLA}) et on la fixe.
3. On paramétrise le modèle suivant (M) :

$$\begin{cases} \dot{z} = A_{CL}z + B\beta_{NN}(x_D)(u - \alpha_{NN}(x_D)) \\ y_M = Cz \end{cases} \quad (6)$$

► α_{NN}, β_{NN} étant 2 réseaux de neurones

4. On minimise la fonction de coût $\mathcal{L}(y_M, y_D) = \frac{1}{N_B T} \sum_{i=0}^{N-1} \sum_{j=0}^{T-1} (y_D^{(i,j)} - y_M^{(i,j)})^2$

► N_B étant la taille du batch, T la période d'intégration

► $y^{(i,j)}$ étant l'instant j du $i^{\text{ème}}$ batch.

Identification : Silverbox

- ▶ Le jeu de données Silverbox provient d'une implémentation électronique d'un oscillateur non-linéaire. [Wigren and Schoukens, 2013]
- ▶ Il est décrit par :

$$\begin{cases} m\ddot{y} + c\dot{y} + k(y)y = u \\ k(y) = a + by^2 \end{cases}$$

- ▶ Linéaire en u
- ▶ Données de nonlinearbenchmark.org
- ▶ Implémenté avec PyTorch [Forgione and Piga, 2021] et RK4 en solver d'intégration.
- ▶ Optimiseur ADAM
 - ▶ L'état interne du réseau est une variable d'optimisation.

Validation

On entraîne 2 modèles dont un qui nous servira de simulateur pour validation :

- ▶ Modèle "P" :

$$\begin{cases} \dot{x}_P = Ax_P + Bu + f_{NN}(x_P) \\ y_P = Cx_P + g_{NN}(x_P) \end{cases} \quad (P)$$

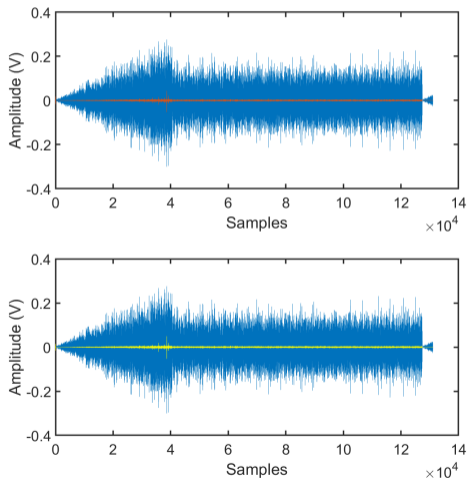
- ▶ Avec $x_D = \begin{pmatrix} y_P \\ \dot{y}_P \end{pmatrix}$

- ▶ Modèle "M" :

$$\begin{cases} \dot{z} = A_{CL}z + B\beta_{NN}(x_D)^{-1}(u - \alpha_{NN}(x_D)) \\ y_M = Cz \end{cases} \quad (M)$$

- ▶ Soient λ_1, λ_2 les valeurs propres de A_{BLA} . On choisit $sp(A_{CL}) = \{-|\lambda_1|, -|\lambda_2|\}$

Identification : Silverbox

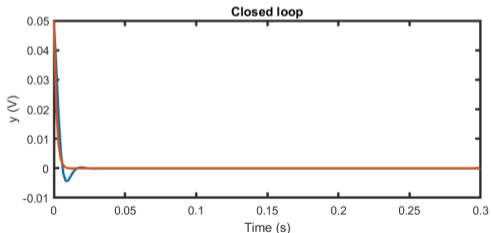
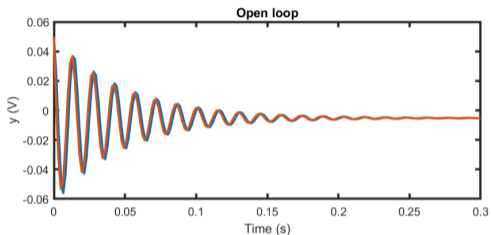


Résultats d'entraînement

:

- ▶ Bleu : y^D .
- ▶ Rouge (haut) : erreur entre les données et le modèle de simulation P (MSE : $2.12 \cdot 10^{-6}$).
- ▶ Jaune (bas) : erreur entre les données et le modèle M (MSE : $2.20 \cdot 10^{-6}$).

Réponse aux conditions initiales



Comparaison entre P et M .

Haut : boucle ouverte,

Bas : boucle fermée.

- ▶ Bleu : modèle P
- ▶ Rouge : modèle M

Limites de l'exemple

Premiers résultats intéressants mais un exemple limité :

- ▶ Monovariable
- ▶ Peu non-linéaire
- ▶ Difficile par nature, de déterminer des objectifs de commande
- ▶ Linéarisable par retour d'état ("plat")

Comment étendre cette démarche à une classe de systèmes plus large ?

Sommaire

- 1 Contexte
- 2 Projection sur un modèle linéarisable
- 3 Projection sur un modèle quasi-linéarisable**
 - Procédure d'apprentissage
 - Exemples
 - Résultats d'identification
 - Influence des hyperparamètres
- 4 Résumé et perspectives

Projection sur un modèle quasi-linéarisable

On cherche donc un modèle quasi-linéarisable par retour de sortie (RF-SSNN):

$$\begin{aligned}x_{k+1} &= Ax_k + B(u_k + \alpha(y_k)) + g_n(x_k, u_k) \\ y_k &= Cx_k\end{aligned}\quad (7)$$

$$\begin{aligned}\alpha(y) &= W_h \sigma_\alpha(W_y y + b_y) + b_\alpha \\ g_n(x, u) &= W_g \sigma_g(W_x x + W_u u + b_x) + b_g\end{aligned}\quad (8)$$

Modèle non-linéaire mais comment minimiser le résidu non-linéaire $\|g_n\|$?
 \implies maximiser l'explicabilité par la partie linéaire

Procédure d'apprentissage

On cherche à minimiser $\|g_n(x, u)\|$ par rapport $\|Ax + Bu\|$:

- ▶ Initialisation linéaire A_0, B_0, C_0
- ▶ $C = C_0$ pendant l'entraînement

Fonction de coût :

$$\hat{\theta} = \arg \min J_N(\theta)$$

$$J_N(\theta) = \frac{1}{N} \sum_{k=1}^N \left((y(k) - y_{\theta}(k))^2 + \gamma g_n^{\theta}(x(k), u(k))^2 \right) \quad (9)$$

Pondération de γ à définir comme un hyperparamètre.

Exemples

Illustration sur 2 benchmarks :

- ▶ Wiener-Hammerstein (données de nonlinearbenchmark.org)
- ▶ Proie-prédateur

$$\begin{aligned}\frac{dx_1}{dt} &= a_1x_1 - b_1x_1x_2 - c_1x_1x_3 + d_1u_1^2 \\ \frac{dx_2}{dt} &= a_2x_2 - b_2x_1x_2 - c_2x_1x_3 + d_2u_2^2 \\ \frac{dx_3}{dt} &= -ex_3 + fx_1x_3 + gx_2x_3\end{aligned}\tag{10}$$

Comparaison avec une forme générale (GR-SSNN):

$$\begin{aligned}x_{k+1} &= Ax_k + Bu_k + f_n(x_k, u_k) \\ y_k &= Cx_k\end{aligned}\tag{11}$$

Résultats d'identification

► Wiener-Hammerstein $\gamma = 1$

RMSE	RF-SSNN (This work, Eq. (7))	GR-SSNN (Eq. (11))	LTI
Training	5.3×10^{-4}	3.6×10^{-4}	2.7×10^{-2}
Test	5.5×10^{-4}	3.7×10^{-4}	2.8×10^{-2}

► Proie-prédateur $\gamma = 2$

RMSE	RF-SSNN (model (7))	GR-SSNN (model (11))	LTI
Train	9.5×10^{-2}	6.7×10^{-2}	1.9
Test	9.3×10^{-2}	6.5×10^{-2}	1.9

Résultats d'identification

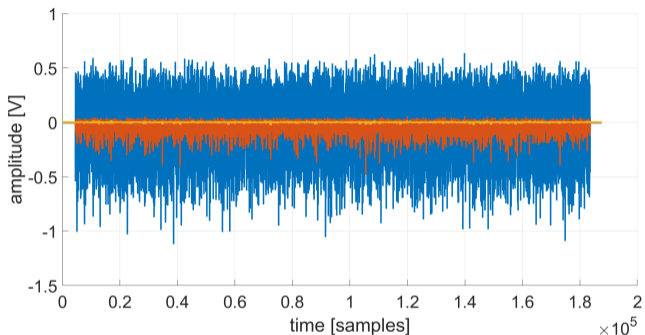


Figure: Résultats d'identification pour Wiener-Hammerstein.

Blue: données,

Red: erreur avec le LTI,

Yellow: erreur avec RF-SSNN (7).

Résultats d'identification

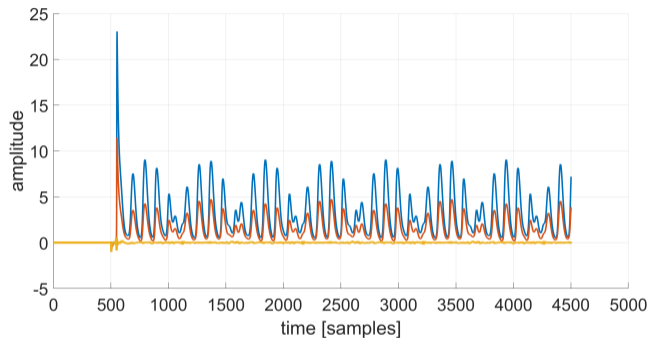


Figure: Résultats d'identification pour proie-prédateur.

Blue: données,

Red: erreur avec le LTI,

Yellow: erreur avec RF-SSNN (7).

Influence des hyperparamètres

- Influence du paramètre γ

	$\gamma = 0.01$	$\gamma = 1$	$\gamma = 100$
RMS error ($y - y_\theta$)	2.8×10^{-4}	5.5×10^{-4}	7.1×10^{-3}
$\text{mean}\left(\frac{\ g_n(x,u)\ }{\ Ax+Bv\ }\right)$	5.6×10^{-3}	1.9×10^{-4}	1.9×10^{-5}

- Norme de la partie linéaire vs résidu (boucle fermée)

	$\ Ax + Bv\ $		$\ g_n(x, v - \alpha(y))\ $		$\frac{\ g_n(x, v - \alpha(y))\ }{\ Ax+Bv\ }$	
	max	mean	max	mean	max	mean
W.H.	8.6	1.9	5.3×10^{-3}	2.7×10^{-4}	4.1×10^{-3}	2.0×10^{-4}
P.P.	2.07	0.75	7.8×10^{-2}	1.4×10^{-2}	0.71	1.3×10^{-1}

Sommaire





- ① Contexte
- ② Projection sur un modèle linéarisable
- ③ Projection sur un modèle quasi-linéarisable
- ④ Résumé et perspectives**





Résumé et perspectives

- ▶ Résumé
 - ▶ Il existe des classes de modèles sur lesquels projeter les données par apprentissage et qui sont utiles à la commande robuste.
- ▶ Perspectives :
 - ▶ Démarche à prolonger sur un exemple fil rouge
 - ▶ Extension au cas du rejet de perturbation
 - ▶ Aller jusqu'à la synthèse et la définition du schéma de commande :

$$\begin{aligned}
 x_{k+1} &= Ax_k + B(u - \alpha(y_k, d_k)) + Gd_k \\
 y &= C_1 x_k \\
 z_k &= C_2 x_k + D_{21} u_k + D_{22} d_k
 \end{aligned} \tag{12}$$

- ▶ Formalisation des objectifs de performance/robustification
- ▶ Ajout de contraintes sur le modèle linéarisé en boucle fermée

-  [Forgione, M. and Piga, D. \(2021\).](#)
Continuous-time system identification with neural networks: Model structures and fitting criteria.
European Journal of Control, 59:69–81.
-  [Kergus, P. \(2021\).](#)
Data-driven control of infinite dimensional systems: Application to a continuous crystallizer.
In *2021 American Control Conference (ACC)*, pages 1438–1443.
-  [Kingma, D. P. and Ba, J. \(2017\).](#)
Adam: A Method for Stochastic Optimization.
[arXiv:1412.6980 \[cs\]](#).
-  [Martin, T. and Allgöwer, F. \(2021\).](#)
Dissipativity verification with guarantees for polynomial systems from noisy input-state data.
In *2021 American Control Conference (ACC)*, pages 3963–3968.

-  Pintelon, R., Schoukens, M., and Lataire, J. (2020).
Best Linear Approximation of Nonlinear Continuous-Time Systems Subject to Process Noise and Operating in Feedback.
IEEE Transactions on Instrumentation and Measurement, 69(10):8600–8612.
Conference Name: IEEE Transactions on Instrumentation and Measurement.
-  Raissi, M., Perdikaris, P., and Karniadakis, G. E. (2019).
Physics-informed neural networks: A deep learning framework for solving forward and inverse problems involving nonlinear partial differential equations.
Journal of Computational Physics, 378:686–707.
-  Revay, M., Wang, R., and Manchester, I. R. (2020).
A Convex Parameterization of Robust Recurrent Neural Networks.
arXiv:2004.05290 [cs, eess, math, stat].
arXiv: 2004.05290.
-  Rivals, I. (1995).

Modélisation et commande de processus par réseaux de neurones ; application au pilotage d'un véhicule autonome.

Theses, Université Pierre et Marie Curie - Paris VI.



Schoukens, M. (2021).

Improved Initialization of State-Space Artificial Neural Networks.

arXiv:2103.14516 [cs, eess].

arXiv: 2103.14516.



Sjoberg, J. (1997).

On estimation of nonlinear black-box models: how to obtain a good initialization.

In Neural Networks for Signal Processing VII. Proceedings of the 1997 IEEE Signal Processing Society Workshop, pages 72–81.




ISSN: 1089-3555.



SUYKENS, J. A. K., MOOR, B. L. R. D., and VANDEWALLE, J. (1995).

Nonlinear system identification using neural state space models, applicable to robust control design.

International Journal of Control, 62(1):129–152.

-  Van Overschee, P. and De Moor, B. (1994).
N4sid: Subspace algorithms for the identification of combined deterministic-stochastic systems.
Automatica, 30(1):75–93.
Special issue on statistical signal processing and control.
-  van Waarde, H. J., Eising, J., Trentelman, H. L., and Camlibel, M. K. (2020).
Data informativity: A new perspective on data-driven analysis and control.
IEEE Transactions on Automatic Control, 65(11):4753–4768.
-  Wigren, T. and Schoukens, J. (2013).
Three free data sets for development and benchmarking in nonlinear system identification.
In *2013 European Control Conference (ECC)*, pages 2933–2938.